

Andrzej KRÓL
Andrzej USZOK
Krzysztof ZIELIŃSKI

RÓWNOWAŻENIE OBCIĄŻENIA W OBIEKTOWYCH SYSTEMACH ROZPROSZONYCH, PODEJŚCIE ANSA¹

Streszczenie. W niniejszym artykule przedstawiono realizację rozszerzenia systemu ANSA o mechanizmy równoważenia obciążenia. Własności tak zmodyfikowanego systemu przedstawiono na przykładzie realizacji obliczeń farmer-worker.

LOAD BALANCING IN OBJECT DISTRIBUTED SYSTEMS, ANSA APPROACH

Summary. In this paper, the extension of ANSA with load balancing mechanisms has been described. The features of modified version of the system has been presented by the farmer-worker computational example.

EQUILIBRE DE CHARGE DANS LES SYSTEMS REPARTIS OBJECT ORIENTES, APPROCHE ANSA

Résumé. Dans l'article la réalisation d'une extension du système ANSA contenant des outils pour équilibrer la charge des systèmes est présentée. Les propriétés du système proposé sont vérifiées sur l'exemple d'exécution de farmer-worker algorithme de la répartition des tâches.

¹Pracę wykonano w ramach grantu KBN nr 8 S503 015 06.

1. Wstęp

Dynamicznie rozwijająca się obecnie dziedzina programowania obiektowego w rozproszonych systemach komputerowych uwiadamia konieczność wprowadzenia zarządzania takimi systemami. Jeden z aspektów zarządzania obiektowymi systemami rozproszonymi dotyczy problemu równoważenia obciążenia (ang. Load Balancing (LB)) i nierozłącznie z tym związanego problemu monitorowania systemów rozproszonych.

Równoważenie obciążenia może dotyczyć zagadnienia tworzenia nowych obiektów zgodnie z informacją o stanie systemu (LB statyczny), lub problemu migracji obiektów z bardziej obciążonych węzłów na te, które są w danej chwili mniej obciążone (LB dynamiczny). Prezentowane w artykule rozwiązanie dotyczy statycznego równoważenia obciążenia, tzn. alokacji tworzonych obiektów na podstawie informacji o stanie systemu, dostarczonej przez system monitorowania.

W obiektowo zorientowanych systemach rozproszonych monitorowanie może dotyczyć zarówno wewnętrznego zachowania się obiektu, jak i zachowania zewnętrznego manifestującego się np. wykorzystaniem procesora, pamięci, czy też liczby wysłanych komunikatów.

Celem niniejszego artykułu jest przedstawienie implementacji systemu równoważenia obciążenia wraz z systemem monitorowania zewnętrznego, napisanego z uwzględnieniem specyfiki zarządzania obiektowo zorientowanymi systemami rozproszonymi. Jako platformę implementacji wybrano system ANSA [1], tak więc rozważany system równoważenia obciążenia LB stanowi sam obiektową aplikację rozproszoną. Punktem wyjścia dla prezentowanej implementacji systemu LB jest model funkcjonalny omówiony krótko w punkcie 2. Następnie w punkcie 3 podano sposób współpracy tego systemu z monitorem obciążenia LM. W punkcie 4 przedstawiono sposoby włączania mechanizmów LB do aplikacji ANSA. Wyniki eksperymentalnej weryfikacji przyjętej koncepcji zawiera punkt 5.

2. Model funkcjonalny systemu LB

Rozważając możliwości rozwiązania problemu LB dla systemu ANSA należy brać pod uwagę charakterystyczne cechy tego systemu:

- Jest to system zorientowany obiektowo, podstawowym elementem działającej aplikacji jest kapsuła (*capsule*), reprezentowana w systemie operacyjnym przez pojedynczy proces.
- Kapsuła zawiera wiele obiektów, które udostępniają interfejsy do oferowanych przez siebie usług.

- System ANSA umożliwia uruchamianie wielu kapsuł na dowolnych węzłach systemu w postaci serwerów.
- Wszystkie interfejsy usług zarejestrowane są w specjalnej kapsule systemowej *Trader*, eksportowane przez klientów. Możliwy więc jest pewien sposób zarządzania wyborem potrzebnej usługi z pewnego zbioru identycznych usług, które udostępniane są przez kapsuły działające na różnie obciążonych węzłach.
- System ANSA nie udostępnia, jak na razie, przeźroczystego mechanizmu migracji kapsuł, co utrudnia skonstruowanie mechanizmów LB dla tego systemu.

Ponieważ aplikacja w systemie ANSA posiada budowę trójpoziomową, składającą się z kapsuł, obiektów i interfejsów, zatem mechanizmy LB mogą dotyczyć każdego z nich. Czasy podstawowych operacji ANSA związanych z budowaniem i niszczeniem kapsuł zaprezentowano w tabeli 1.

Tabela 1

Średnie czasy wykonania operacji ANSA na sieci komputerów SUN

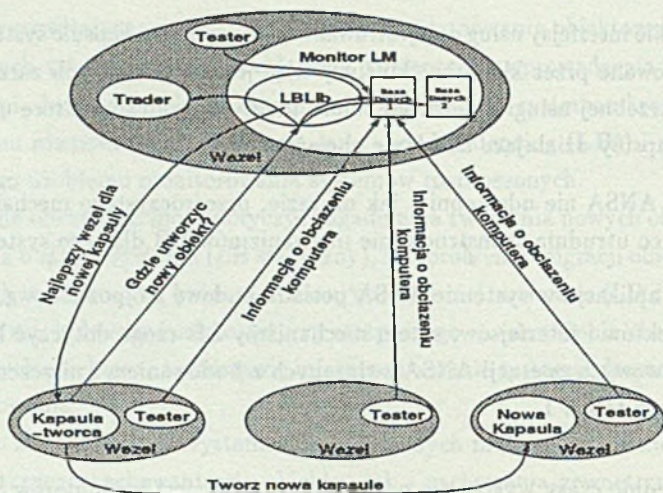
Nazwa Operacji	Średni czas wykonania [ms]
Eksport interfejsu usługi Factory	24
Tworzenie nowej kapsuły	318
Niszczenie kapsuły (operacja Terminate)	49
Tworzenie nowego obiektu wewnątrz kapsuły	33
Tworzenie całej struktury (kapsuła, obiekt, interfejsy)	381
Niszczenia takiej struktury	54
Operacja Discard dla interfejsu	1
Operacja Create dla interfejsu	1
Operacja Destroy dla interfejsu	0.5
Operacja Importu referencji do interfejsu usług	12
Operacja Exportu referencji do interfejsu usług	22

Wyniki te uzyskano poprzez wielokrotne (400 pomiarów) wywołania wymienionych operacji w systemie ANSA pracującym w następującej konfiguracji: kapsuła usługi *Trader* zainstalowana była na komputerze SUN SPARCstation 2, system ANSA funkcjonował dodatkowo na trzech komputerach SUN.

Najbardziej kosztowną operacją jest utworzenie nowej kapsuły i czas ten wynosi średnio 0.3[s]. Czas ten rośnie jednak nawet do ponad 6[s] na bardzo obciążonym komputerze. Tak więc decyzja o tworzeniu kapsuł musi być podejmowana szczególnie ostrożnie. Pozostałe czasy też nie są pomijalnie małe, jeśli operacje te wywoływane są bardzo często.

Zaproponowane w dalszej części artykułu mechanizmy LB umożliwiają podejmowanie decyzji odnośnie co do tworzenia i lokalizacji elementów systemu z każdego z wymienionych wcześniej poziomów. Koncepcja działania proponowanego systemu LB zakłada, że przed utworzeniem nowego elementu systemu istnieje możliwość uzyskania informacji o

stanie obciążenia systemu. W odniesieniu do poziomu kapsuł rozważany schemat działania został przedstawiony na rys. 1.



Rys. 1. System równoważenia obciążenia

Fig. 1. Load Balancing system

Jego realizacja wymaga rozwiązania dwu problemów: (i) konstrukcji systemu monitorowania stanu systemu LM oraz (ii) sposobu wprowadzenia do kodu aplikacji odwołań do tego systemu. Zagadnienia te zostaną przeanalizowane w kolejnych punktach.

3. System monitorowania LM

Strukturę systemu monitorowania zewnętrznego, jaką przyjęto w rozważanym systemie, zaznaczono na rys. 1. Składa się on z dwu rodzajów kapsuł: kapsuły Monitor oraz zbierających dane kapsuł typu Tester. Kapsuły te są wielowątkowe. Umożliwiają to współbieżną obsługę zdarzeń występujących w systemie. Szczegóły implementacyjne systemu LM zostały opisane w [2]. Z punktu widzenia systemu LB najważniejsze jest działanie kapsuły Monitor. Jest ona uruchamiana na samym początku pracy systemu LM. Wynikiem jej działania jest: (i) Uruchomienie na każdym węźle tego systemu kapsuły Tester, zbierającej dane na temat obciążenia komputera, na którym działa. (ii) Inicjacja bazy danych zawierającej informacje na temat stanu komputerów systemu ANSA. Polega to na inicjacji elementów tablicy *Nodes* na podstawie pliku zawierającego dane na temat zasobów poszczególnych węzłów systemu. (iii) Wyeksportowanie referencji do interfejsów, tak aby mogły one być dostępne dla innych aplikacji ANSA. (iv) Instalacja funkcji pozwalającej na zakończenie pracy systemu.

Po zakończeniu wykonywania procedury inicjacji system monitorowania pracuje, a zbierane przez niego informacje są dostępne dla wszystkich aplikacji ANSA, które dokonają importu referencji jego interfejsów *SImAc*d lub *LBLib* kapsuły *Monitor*.

Interfejs *LBLib* oferuje operacje umożliwiające programom dostęp do zebranych przez kapsułę *Monitor* danych w formie specjalnie opracowanej dla systemu *LB* i ma postać:

```
LBLib : INTERFACE =
NEEDS SImDc;
BEGIN
-- Operations
BestNode      : OPERATION [ Dist: INTEGER ]
                RETURNS [ HName: STRING ];
GetHostList   : OPERATION [ ]
                RETURNS [ Hosts: HostsList ];
GoodNodes     : OPERATION [ Dist: INTEGER; Delim: INTEGER ]
                RETURNS [ Hosts: HostsList ];
NewGoodNodes  : OPERATION [ Hosts: HostsList; Dist: INTEGER; Delim: INTEGER ]
                RETURNS [ NewHosts: HostsList ];
BadNodes      : OPERATION [ Hosts: HostsList; Dist: INTEGER; Delim: INTEGER ]
                RETURNS [ BadHosts: HostsList ];
StillGoodNode : OPERATION [ Host: STRING; Dist: INTEGER; Delim: INTEGER ]
END.
```

Interfejs ten może być łatwo rozszerzony, a zawarte w nim przykładowe funkcje mają następującą interpretację:

- *BestNode* – funkcja ta zwraca nazwę najlepszego, według aktualnie posiadanych informacji, komputera wyszukanego w zbiorze węzłów systemu ANSA za pomocą algorytmu o nazwie będącej argumentem tej funkcji.
- *GetHostList* – funkcja ta zwraca listę nazw dostępnych komputerów.
- *GoodNode* – funkcja ta zwraca listę nazw komputerów, których obciążenie jest mniejsze od określonego przez argument jej wywołania.
- *NewGoodNodes* – funkcja ta wyznacza, które komputery, oprócz podanych w jej wywołaniu, są mniej obciążone, niż określa to jeden z argumentów jej wywołania.
- *BadNodes* – funkcja ta bada, które z podanych komputerów są bardziej obciążone, niż określa to argument jej wywołania. Można ją wykorzystać do badania, które komputery zwrócone poprzednio przez wywołanie funkcji *GoodNodes* utraciły swoje własności.
- *StillGoodNodes* – funkcja ta sprawdza, czy obciążenie komputera o podanej nazwie jest mniejsze od podanej wartości.

Wymienione operacje mogą być wywołane przez aplikacje ANSA w celu wyznaczenia najbardziej odpowiedniej lokalizacji nowo tworzonego elementu systemu.

4. Sposoby korzystania z mechanizmów LB

Rozważając sposób włączania strategii LB do tekstów programów należy rozważyć dwie możliwości:

- Przezroczyste (*transparent*) włączanie mechanizmów LB, polegające na tym, że twórca aplikacji nie musi być świadomy ich budowy, sposobu działania, a nawet istnienia. Natomiast dowolny stworzony przez niego program powinien móc automatycznie korzystać z tych mechanizmów.
- Bezpośrednie dołączanie mechanizmów LB. W tym przypadku cała inicjatywa leży po stronie programisty, od którego decyzji zależy sposób włączania mechanizmów LB do tekstu aplikacji.

W przypadku systemu ANSA brak przezroczystego mechanizmu włączania strategii LB do programów bardzo utrudnia pracę ich twórcom. Programy ANSA są to najczęściej dość rozbudowane aplikacje, składające się z wielu plików definiujących kapsuły i ich interfejsy. Cały program opisywany jest natomiast przez odpowiednio skonstruowany plik *imakefile*. Aby przedstawiony mechanizm LB uczynić przezroczystym, należy napisać taki preprocesor pliku *imakefile*, aby włączanie strategii LB do aplikacji polegało na uruchomieniu tylko tego jednego przekształcającego go programu.

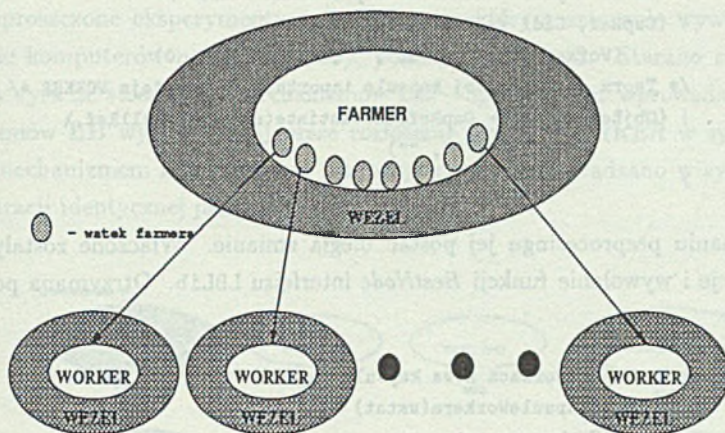
Mechanizmy bezpośrednio opierają się na wykorzystaniu operacji dostarczanych przez monitor ML wywoływanych wprost przez programistę, podobnie jak funkcje biblioteczne. W rozważanym systemie zapewniono obydwa mechanizmy korzystania z systemu LB.

5. Eksperymentalne badania mechanizmów LB

Doświadczalna weryfikacja zaprezentowanych mechanizmów LB jest ostatecznym kryterium ich działania i efektywności. W tym punkcie zaprezentowane zostaną wyniki doświadczeń, jakie przeprowadzono z opracowanym modulem LB. Jako aplikację, do której wprowadzono mechanizmy LB, wybrano model obliczeń rozproszonych *farmer - worker*. Jest to typowy i dość powszechnie stosowany model organizacji przetwarzania w środowisku rozproszonym [5].

Typową budowę modelu *farmer - worker* przedstawiono na rys. 2. Na jednym z węzłów pracuje proces zarządzający – *farmer*, który kieruje obliczeniami, tzn. przekazuje

worker'om kolejne partie danych i odbiera od nich wyniki ich pracy. Kapsuła *FARMER* zawiera współbieżne wątki, kontrolujące pracę każdej kapsuły *WORKER* z osobna.



Rys. 2. Model obliczeń farmer - worker

Fig. 2. Farmer - worker computational model

W czasie opisanych doświadczeń obliczeniami, które wykonywała farma procesów, były obliczenia fraktala Mandelbrota. Dla potrzeb rozważanego eksperymentu nie jest istotne oczywiście, co jest obliczane, lecz sam proces obliczeniowy, a zaprezentowana implementacja farmy jest ogólna. Ważne jest natomiast, że można sterować wielkością pojedynczego zadania kierowanego do kapsuły *WORKER* zmieniając ilość punktów obrazu fraktala, które ma ona obliczyć. Szczególną uwagę zwrócono na ilustrację przeźroczystej oraz bezpośredniej metody włączania mechanizmów LB.

5.1. Przeźroczyste włączanie mechanizmów LB

Wprowadzenie mechanizmów LB w dyskutowanym przykładzie jest możliwe na etapie tworzenia kapsuł typu *WORKER*. Obecnie zostanie pokazane, w jaki sposób dokonuje tego skonstruowany w tym celu preprocesor. Rozważana aplikacja składa się z kilku oddzielnych plików powiązanych w jedną całość odpowiednim plikiem *imakefile*. Efekt działania preprocesora zostanie pokazany na przykładzie funkcji *TworzKapsuleWorkera*, tworzącej nowe kapsuły *WORKER*. W pliku wejściowym funkcja ta miała następującą postać:

```
void TworzKapsuleWorkera(wstat)
StrukturaWorker *wstat;
{
```



```

    ansa_Boolean r;
    /* Importuj referencje do uslugi Factory */
    ! {FacRef} <- traderRef$Import("Factory", "/", "")
    /* Tworz kapsule Worker na odpowiednim wezle */
    ! {CapRef, Cid} <- FacRef$Instantiate \
        (WorkerPATH, "server", "", "", nullRef, 0)
    /* Tworz obiekt w tej kapsule inportujacy interfejs WORKER */
    ! {ObjRef, Res} <- CapRef$Instantiate(nullRef, nullRef, \
        "Worker", "", "")
}

```

Po wykonaniu preprocesingu jej postać uległa zmianie. Włączone zostały do niej nowe instrukcje i wywołanie funkcji *BestNode* interfejsu LBLib. Otrzymana postać jest następująca:

```

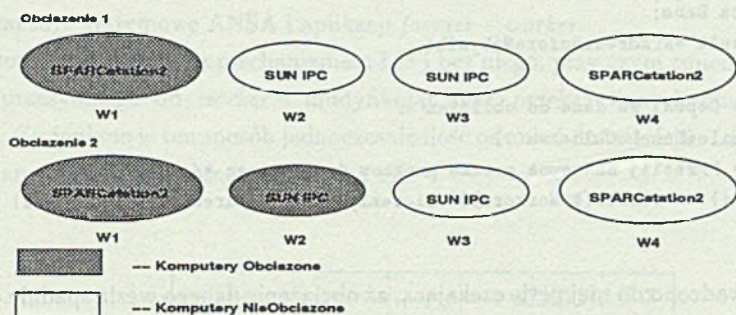
/* Funkcja tworząca nowa kapsule workera */
void TworzKapsuleWorkera(wstat)
StrukturaWorker *wstat;
{
    ansa_Boolean r;
    /* Importuj referencje do Factory */
    if(strstr(propbuf, "Node"))
    ! {FacRef} <- traderRef$Import("Factory", "/", "")
    else{
        char pbuf[1024];
        ansa_String wezel;
        if(!_LbLib.length)
        ! { _LbLib} <- traderRef$Import("LbLib", "", "")
        ! {wezel} <- _LbLib$BestNode(NrAlg)
        (void)strcpy(pbuf, propbuf);
        (void)strcat(pbuf, " Node==");
        (void)strcat(pbuf, wezel);
        (void)strcat(pbuf, "");
        ! { Facref } <- traderRef$Import("Factory", dir, pbuf)
    }
    /* Tworz kapsule Worker na odpowiednim wezle */
    ! {CapRef, Cid} <- FacRef$Instantiate \
        (WorkerPATH, "server", "", "", nullRef, 0)
    /* Tworz obiekt w tej kapsule eksportujacy interfejs WORKER */
    ! {ObjRef, Res} <- CapRef$Instantiate(nullRef, nullRef, \
        "Worker", "", "")
}

```

Tak więc przed każdym utworzeniem nowej kapsuły *WORKER* uzyskiwana jest najpierw informacja, na jakim węźle powinien być on utworzony. Należy podkreślić, że opisany preprocesor jest ogólny w tym sensie, że może przetwarzać dowolne aplikacje.

Wykrywa on instrukcje tworzenia kapsuł i podmienia na odpowiednio zmodyfikowany kod zawierający odwołania do operacji LB.

Aby pokazać wpływ wprowadzonych mechanizmów LB, zdecydowano się przeprowadzić uproszczone eksperymenty na systemie, w którym sztucznie wywoływano stałe obciążenie komputerów na dwa sposoby, pokazane na rys. 3. Starano się ocenić maksymalny zysk ze stosowania mechanizmów LB – aplikacja bez wprowadzonych do niej mechanizmów LB wybierała najgorsze rozłożenie kapsuł *WORKER* w systemie, natomiast z mechanizmem LB najlepsze. Eksperymenty przeprowadzano w systemie ANSA o konfiguracji identycznej jak opisana w punkcie 2.



Rys. 3. Rozkłady obciążenia systemu

Fig. 3. System load distribution

Tabela 2

Czasy wykonania obliczeń z i bez mechanizmów LB

Rozkład obciążenie	Ilość workerów	Obliczenia z LB					Obliczenia bez LB				
		W1	W2	W3	W4	Czas[s]	W1	W2	W3	W4	Czas[s]
1	1				X	53.08	X				103.45
	2			X	X	33.99	X	X			56.83
	3	X		X	X	25.08	X	X	X		36.09
	4	X	X	X	X	22.93	X	X	X	X	22.93
2	1				X	53.08		X			143.46
	2			X	X	33.99	X	X			71.25
	3	X		X	X	27.66	X	X	X		45.25
	4	X	X	X	X	25.91	X	X	X	X	25.91

W tabeli 2 przedstawiono uzyskane rezultaty eksperymentu. Obecność symbolu X w danej kolumnie oznacza, że na tym węźle pracowała kapsuła *WORKER*. Analiza tych wyników pozwala stwierdzić poprawność przyjętej koncepcji działania systemu LB w tym sensie, iż jego zastosowanie może prowadzić do znaczącego skrócenia czasów obliczeń.

5.2. Bezpośrednia metoda włączania mechanizmów LB

Metoda ta polega na włączaniu wywołań funkcji biblioteki *LBLib* do tekstu programu przez jego twórcę i jest przydatna w sytuacji, gdy równoważenie obciążenia wymaga wykorzystania informacji o semantyce programu. W rozważanym przykładzie zdecydowano się na sterowanie ilością elementarnych zadań przekazywanych *worker*'om na podstawie obciążenia węzła, na którym działają. W aplikacji wyjściowej odpowiedzialna jest za to funkcja *PrzeslijWorkerowiNoweDane* o postaci:

```
void PrzeslijWorkerowiNoweDane(NrWorkera, Dane, NrAdresuBuforaNaWyniki)
int NrWorkera;
Data Dane;
Result *NrAdresuBuforaNaWyniki;
{
    /* Dopoki sa dane do obliczen */
    while(DaneDoObliczen())
    /* Przeslij nastepna paczke punktow do obliczen */
    ! {} <- worker[NrWorkera]$Obliczenia(Dane, NrAdresuBuforaNaWyniki)
}
```

Wprowadzono do niej pętlę czekającą, aż obciążenie danego węzła spadnie do poziomu, kiedy opłacalne będzie wysłanie do *worker*'a rezydującego na nim nowego zadania. Badała jest najpierw średnia długość kolejki procesów w ciągu ostatniej minuty: jeśli jest ona mniejsza niż 1.2, to dane przesyłane są do węzła. Jeśli jednak jest ona większa, to sprawdzane jest aktualne wykorzystanie procesora; jeśli jest ono mniejsze niż 65%, to również dane są przesyłane. Jeśli jednak jest ono większe, to wątek kontrolujący danego *worker*'a zasypia na pewien czas (3[s]), czekając na zmianę stanu komputera, a następnie powtarza opisane czynności. Podane parametry granicznego obciążenia wybrano na podstawie obserwacji zachowania się systemu podczas wielu tego typu eksperymentów.

```
void PrzeslijWorkerowiNoweDane(NrWorkera, Dane, NrAdresuBuforaNaWyniki)
int NrWorkera;
Data Dane;
Result *NrAdresuBuforaNaWyniki;
{
    ansa_Boolean rr;
    /* Eksportuj referencje LBLib */
    ! {LBLRef} <- traderRef$Import("LBLib", "/", "")
    /* Dopoki sa dane do obliczen */
    while(DaneDoObliczen())
    /* Czekaj dopuki wezel nie bedzie spelnial warunki */
    do{
    ! {rr} <- LBLRef$StillGoodNode(worker[NrWorkera].name, 5, 120)
    if(!rr){
```



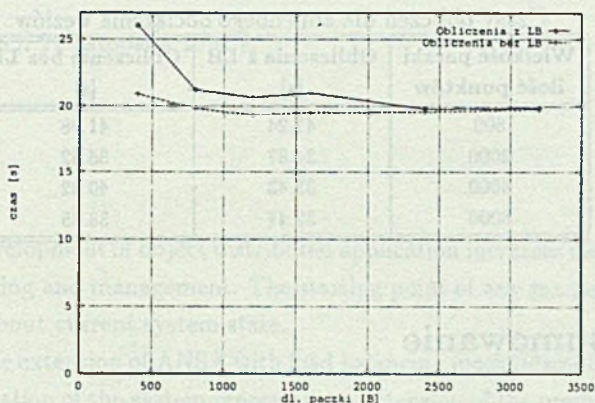
```

!   {rr} <- LBLRef$StillGoodNode(worker[NrWorkera]name, 2, 65)
      if(!rr)
        sleep(3);
    }
  }while(!rr);
  /* Przeslij nastepna paczke punktow do obliczen */
!   {} <- worker[NrWorkera]$Obliczenia(Dane, NrAdresuBuforaNaWyniki)
}

```

W programie tym w dość intensywny sposób wykorzystuje się operacje interfejsu *LBLib*. Należy zatem oszacować, jakie koszty czasowe się z tym wiążą. Badania przeprowadzano w czasie, gdy komputery nie były wykorzystywane, tzn. pracowały na nich jedynie kapsuły systemowe ANSA i aplikacji *farmer* – *worker*.

Mierzono czas obliczeń z mechanizmem LB i bez niego, przy czym zmieniano wielkość zadania przesyłanego do *worker*'a modyfikując ilość przekazywanych mu do obliczeń punktów. Zmieniano w ten sposób jednocześnie ilość odwołań do interfejsu *LBLib*. Średnie z otrzymanych wyników przedstawiono na rys. 4.



Rys. 4. Koszty mechanizmu LB

Fig. 4. LB overheads

Jak można zaobserwować dla małej ilości punktów, czyli w przypadku gdy zadanie obliczeniowe było małe, a jednocześnie bardzo często wywoływano funkcje *LBLib*, koszty mechanizmu LB były wysokie, jednakże wraz ze wzrostem rozmiarów zadania koszty te znacznie malały.

Wyniki zastosowania rozważanego w tym punkcie mechanizmu LB dla obciążenia typu 2 z rys. 3 przedstawiono w tabeli 3. Eksperyment ten przeprowadzono w sposób podobny jak w poprzednim punkcie dla zadań obliczających 800 punktów.

Tabela 3

Porównanie ilości zadań przydzielonych
poszczególnym węzłom

Nazwa węzła	Ilość zadań przydzielonych węzłom	
	Obliczenia z LB	Obliczenia bez LB
W1	103	150
W2	89	115
W3	136	128
W4	272	207

Średni czas wykonania się obliczeń w wariancie bez LB wyniósł: 26.04[s], natomiast wariant z LB miał średni czas zakończenia: 24.01[s]. Poniesione koszty na wprowadzenie mechanizmu LB były więc celowe. Wynika to z faktu, iż poszczególne kapsuły *WORKER* otrzymywały ilość zadań dostosowaną do obciążenia węzła, na których pracowały.

W przypadku zmiennego obciążenia węzłów algorytm LB wybiera najmniej obciążone w danym momencie węzły do realizacji kolejnych kroków obliczeń (tabela 4).

Tabela 4

Czasy obliczeń dla zmiennego obciążenia węzłów

Wielkość paczki ilość punktów	Obliczenia z LB [s]	Obliczenia bez LB [s]
800	41.24	41.98
2000	34.87	36.52
4000	33.43	40.82
8000	32.44	38.85

6. Podsumowanie

Przeprowadzone badania wykazały możliwość i celowość uzupełnienia systemu ANSA o mechanizmy statycznego równoważenia obciążenia. Stwierdzono przy tym, że ważne jest uwzględnienie trójpoziomowej hierachii elementów tego systemu. Zaprezentowano architekturę systemu LB oraz podano opis jego najważniejszych elementów składowych. Zaproponowano i praktycznie zweryfikowano dwie metody włączania mechanizmów LB do aplikacji ANSA wskazując, iż bardziej ogólna i celowa jest technika preprocesingu.

Uzyskane wyniki eksperymentalne posiadają raczej charakter jakościowy, a nie ilościowy, gdyż te ostatnie zależą od konkretnej aplikacji. Znacznie większe znaczenie posiadają ogólne cechy powstałej rozszerzonej architektury ANSA i przyjęta metodologia, którą można przenieść na inne środowiska rozproszone.

LITERATURA

- [1] ANSAware 4.0 — System Programmer's Manual. APM Ltd. Cambridge 1992.
- [2] Król A., Uszok A., Zieliński K.: Monitorowanie obiektowo zorientowanych aplikacji rozproszonych, podejście ANSA. Konferencja Informatyka na wyższych uczelniach dla gospodarki narodowej, Gdańsk, 17-19 listopada 1994.
- [3] Mansouri-Samani M., Sloman M.: Monitoring Distributed Systems (A Survey) Imperial College Research Report No. DOC92/23 Apr. 1993.
- [4] Uszok A., Król A., Zieliński K.: Cluster Management Software for Open Object Oriented Systems HPCN94, München, Lecture Notes in Computer Science 797, Springer-Verlag, 1994.
- [5] Uszok A.: Równoważenie obciążenia w obiektowo zorientowanych systemach rozproszonych. Praca magisterska, AGH Kraków, Instytut Informatyki 1993.

Recenzent: Dr hab. inż. Tadeusz Czachórski

Wpłynęło do Redakcji 21 listopada 1994 r.

Abstract

A very rapid development of object distributed application increases demands for their debugging, monitoring and management. The starting point of any management activity is an information about current system state.

In this paper, the extension of ANSA with load balancing mechanisms has been described. An implementation of the system represents an extension of the original functionality with LM (Load Monitoring) and LB (Load Balancing) modules. Two programming styles are provided for the application programmer: transparent and non-transparent usage of load balancing functions. The implemented LB software has been tested for some typical applications for instance farm computation.